



## کنترل بهینه تطبیقی مد لغزشی فرایچشی برای ربات اسکلت خارجی پایین تن

مجید مختاری، مصطفی تقی‌زاده<sup>\*</sup>، محمود مزارع

مهندسی مکانیک، دانشگاه شهید بهشتی، تهران، ایران

### تاریخچه داوری:

دریافت: ۱۳۹۸/۰۲/۱۸

بازنگری: ۱۳۹۸/۰۵/۲۸

پذیرش: ۱۳۹۸/۰۶/۳۱

ارائه آنلاین: ۱۳۹۸/۰۷/۲۰

### کلمات کلیدی:

ربات اسکلت خارجی

کنترل تطبیقی

کنترل مد لغزشی فرایچشی

الگوریتم جستجوی هارمونی

معیار نقطه گشتوار صفر

**خلاصه:** اغتشاش و عدم قطعیت با دامنه نامعلوم از عواملی است که عملکرد ربات‌های اسکلت خارجی را با مشکل مواجه کرده است. یکی از روش‌های کنترلی مقاوم در برایر اغتشاشات، مد لغزشی بوده که با بکارگیری لایه مرزی به منظور مقابله با چترینگ، عملکرد مقاوم آن تضعیف می‌شود. برای مقابله، الگوریتم‌های کنترلی مرتبه بالا مانند مد لغزشی فرایچشی پیشنهاد شده که بدون در نظر گرفتن لایه مرزی، چترینگ را تا حدودی کاهش می‌دهند. در این مقاله، یک کنترلر مد لغزشی فرایچشی تطبیقی بهینه برای ربات اسکلت خارجی پایین تن پیشنهاد شده که در آن متغیر لغزشی و مشتقات آن در حضور اغتشاش محدود با دامنه نامعلوم به سمت صفر میل می‌کنند. مسیر مفصل بالا تن به گونه‌ای تعیین شده که در هر لحظه پایداری ربات طبق معیار نقطه گشتوار صفر حاصل شود. به منظور دستیابی به حداکثر پایداری و کمترین خطأ در دیابی مسیرها، پارامترهای کنترلر و مسیر بالا تن، به کمک الگوریتم جستجوی هارمونی بهینه شده‌اند. برای اعتبارسنجی ربات در نرم افزار آدامز مدل شده و سپس ورودی‌های کنترلی به مدل استخراج شده از آدامز اعمال شده‌اند. در نهایت عملکرد دو کنترلر با هم مقایسه شده که نتایج برتری روش کنترلی پیشنهادی نسبت به کنترل کننده مد لغزشی بهینه را نشان می‌دهند.

### ۱- مقدمه

ربات بلیکس ارائه شد. الگوریتم کنترلی این ربات به صورت کنترل مبتنی بر مدل با استراتژی کمکی افزایش حساسیت به نیروها و گشتوارهای خارجی می‌باشد [۶]. برای حمل بارهای سنگین در مدت زمان طولانی و برای حرکت در سطوح با شیب کم، رباتی با عنوان اگزواسکلتون طراحی شده است. استراتژی کنترلی این ربات به صورت استراتژی کنترل فعال تعقیب مفصل است [۷]. در سال ۲۰۱۲ یک اگزواسکلتون در زمینه پزشکی و برای کمک به افراد معلول برای راه رفتن، ارائه شده است که کنترل آن بر مبنای کنترل کننده موقعیت طبق مسیر از پیش تعیین شده می‌باشد [۸].

طراحی کنترل کننده مناسب تاثیر مستقیم بر عملکرد ربات اسکلت خارجی دارد. کنترل کننده علاوه بر تعیین ورودی‌های کنترلی مناسب به منظور تعقیب منحنی مطلوب مفاصل، باید بتواند بر اغتشاشات وارد شده به ربات در اثر نیروی اعمال شده از طرف انسان و محیط و همچنین بر دینامیک‌های مدل نشده و عدم قطعیت‌های سیستم غلبه کند. کنترل کننده‌هایی مانند کنترل کننده خطی‌سازی پسخواراند، کنترل کننده مقاوم، کنترل کننده تطبیقی [۹]، کنترل کننده مقاوم تطبیقی [۱۰]، کنترل کننده‌های مبتنی بر روئیت‌گر

اگزواسکلتون‌ها تجهیزاتی هستند که عموماً ظاهری شبیه به انسان و یا بخشی از اعضای بدن انسان دارند که توسط یک شخص پوشیده شده و حرکاتی همانگ با حرکات بدن انجام می‌دهند. ربات‌های اسکلت خارجی پوشیدنی به منظور افزایش کارآیی و توان افراد سالم و یا به عنوان یک دستگاه توانبخشی مورد استفاده قرار می‌گیرند. میزان تطابق با بدن انسان و نیز استراتژی‌های کنترلی مورد استفاده در اگزواسکلتون‌ها تاثیر بسزایی بر روی عملکرد این تجهیزات دارد [۱].

اگزواسکلتون‌ها از سال ۱۹۶۰ در آمریکا [۲]، ژاپن و اروپا [۳] [مورد مطالعه قرار گرفته‌اند. در سال ۲۰۰۳ یک ربات اسکلت خارجی پایین تن به با دو محرک خطی برگشت‌پذیر، یکی در مفصل ران و دیگری در مفصل زانو، مدل‌سازی و کنترل شده است. در این ربات از روش کنترل موقعیت مسیرهای از پیش تعیین شده، استفاده شده است [۴ و ۵]. به منظور تقویت نیروی انسانی و استقامت انسان در هنگام حرکت برای کاربردهای نظامی،

\* نویسنده عهده‌دار مکاتبات: mo\_taghizadeh@sbu.ac.ir

حقوق مؤلفین به نویسنده‌گان و حقوق ناشر به انتشارات دانشگاه امیرکبیر داده شده است. این مقاله تحت لیسانس آفرینندگی مردمی (Creative Commons License) در دسترس شما قرار گرفته است. برای جزئیات این لیسانس، از آدرس <https://www.creativecommons.org/licenses/by-nc/4.0/legalcode> دیدن فرمائید.



سریال به روش کنترل مد لغزشی فرایپیچشی به منظور حذف سریع خطای ردیابی و مقابله با عدم قطعیت‌ها کنترل شده است که نتایج شبیه‌سازی دقت و سرعت در ردیابی مسیر مرجع، اعتیار سنگی اثر کنترل‌کننده و کاهش انرژی مصرفی را تایید کرده‌اند [۲۰].

در روش کنترل مد لغزشی فرایپیچشی آگاهی از محدوده عدم قطعیت‌ها و اغتشاشات یک مشکل اساسی می‌باشد که در بسیاری از موارد عملی این محدوده قابل تخمین نیست. استفاده از یک قانون تطبیقی مناسب و طراحی کنترل‌کننده تطبیقی مد لغزشی فرایپیچشی یک روش کارآمد در مقابله با اغتشاشات با دامنه نامعلوم است [۱۹ و ۲۱-۲۲] که این نوع از اغتشاشات در کنترل و پایداری ربات‌های اسکلت خارجی بسیار حائز اهمیت می‌باشد. یکی از مهمترین وظایف مکانیزم‌های راه رونده در طول قدم زدن، حفظ تعادل است. از جمله روش‌های بررسی پایداری در ربات‌های راه رونده می‌توان به روش‌های معیار پایداری مرکز ثقل [۲۳]، معیار پایداری نشان‌گر چرخش پا [۲۴]، معیار پایداری انرژی مبنی [۲۵] و معیار پایداری ارتفاع-گشتاور [۲۶] اشاره کرد. اگر ربات مفصل‌های فعل داشته باشد و در هر لحظه حداقل روی یک پا بایستد، آنگاه معیار نقطه گشتاور صفر می‌تواند برای بررسی پایداری مورد استفاده قرار گیرد [۲۶].

در این مقاله، ابتدا به منظور طراحی مسیرهای مطلوب مفاصل ربات از الگوریتم ارائه شده در مرجع [۲۷] استفاده شده است. سپس با استفاده از روش لاگرانژ معادلات مدل دینامیکی ربات استخراج و به منظور کنترل موقعیت مفاصل ربات، از روش کنترل مد لغزشی بهینه کلاسیک و کنترل تطبیقی بهینه مد لغزشی فرایپیچشی استفاده شده است. همچنین مسیر مطلوب مفصل بالا تنه در هر لحظه به گونه‌ای تعیین شده است که پایداری ربات بر اساس معیار نقطه گشتاور صفر تامین شود. بهمنظور دستیابی به حداقل پایداری و کمترین خطا در تعییب مسیرهای مطلوب مفاصل ربات، پارامترهای کنترل‌کننده پیشنهادی و پارامترهای مسیر مطلوب بالا تنه، به کمک الگوریتم جستجوی هارمونی [۲۸] بهینه شده است. در ادامه عملکرد کنترل‌کننده تطبیقی مد لغزشی فرایپیچشی با کنترل‌کننده مد لغزشی<sup>۱</sup> بهینه مقایسه شده است. نوآوری این مقاله عبارتست از: ۱- طراحی کنترل‌کننده تطبیقی بهینه مد لغزشی فرایپیچشی برای ربات اسکلت خارجی هفت درجه آزادی-۲- استفاده از حرکت مفصل بالا تنه به عنوان جبرانساز پایداری ربات-۳- قابلیت مقابله با اغتشاشات با دامنه نامعلوم و پدیده چترینگ-۴- بهینه‌سازی همزمان پارامترهای کنترل‌کننده و پارامترهای مسیر مطلوب

و کنترل‌کننده مد لغزشی [۱۱] برای مقابله با اغتشاشات خارجی و همچنین عدم قطعیت‌های داخلی ارائه شده‌اند. این روش‌ای کنترل به لحاظ نظری به محبوبیت فراوان دست یافته‌اند، اما اکثر آن‌ها فقط پایداری نسبی را تضمین می‌کنند. در این حالت سیستم کنترلی برای تعییب مسیرهای مطلوب زمان زیادی را صرف خواهد کرد. از طرفی کنترل پایدار سیستم مستلزم داشتن بهره کنترلی بالایی می‌باشد که گاهی اوقات این موضوع عملی نیست. در نتیجه، یک کنترل کننده مقاوم با همگرایی سریع برای کاربردهای نظری و عملی لازم می‌باشد. امروزه روش‌های کنترلی که پایداری حالت‌های سیستم‌های غیرخطی را به نقاط تعادل در زمان محدود تضمین می‌کنند، مانند کنترل‌کننده مد لغزشی فرایپیچشی [۱۲]، کنترل‌کننده مد لغزشی ترمینالی [۱۳] توسعه یافته‌اند.

کنترل‌کننده مد لغزشی به عنوان یک کنترل‌کننده مقاوم در برابر اغتشاشات و نامعینی‌های مدل در سال‌های اخیر توسعه یافته است [۱۴ و ۱۵]. وجود پدیده چترینگ یکی از بزرگترین مشکلات روش کنترل مد لغزشی است که کاهش آن می‌تواند باعث صرفه‌جویی انرژی مصرفی شود. بدین منظور می‌توان یک لایه مرزی را در اطراف سطح لغزش تعریف نمود. تعریف لایه مرزی در اطراف سطح لغزش باعث کاهش میزان مقاوم بودن سیستم در مقابله با عدم قطعیت‌ها می‌شود [۱۶].

بهمنظور بهبود عملکرد کنترل‌کننده مد لغزشی، نسل جدیدی از کنترل‌کننده‌های حالت لغزشی با مرتبه بالاتر مانند کنترل مد لغزشی فرایپیچشی پیشنهاد شده است که قانون کنترل آن‌ها ذاتاً و بدون تعریف لایه مرزی سعی در کاهش پدیده چترینگ دارد؛ در حالی که توانایی کنترل‌های مد لغزشی سنتی را در مقابله با عدم قطعیت‌ها و اغتشاشات حفظ می‌کند [۱۷]. کنترل مد لغزشی فرایپیچشی یکی از قوی‌ترین الگوریتم‌های کنترل مد لغزشی حالت پیوسته مرتبه دوم است. این روش کنترلی، تابع کنترلی پیوسته‌ای تولید می‌کند که متغیر لغزشی و مشتق آن را در زمان محدود در حضور اغتشاشات هموار با دامنه محدود به مقدار صفر میل می‌دهد. از آنجا که این روش کنترلی دارای انگرال ناپیوسته است، بنابراین پدیده چترینگ حذف نشده اما به مقدار قابل قبولی کاهش می‌یابد. اساس این روش کنترلی در سال ۲۰۰۸ توسط مورنو و او سوریو [۱۸] ارائه شد. روش کنترل مد لغزشی فرایپیچشی بهمنظور کنترل دقیق و مقابله با غیرخطی‌ها و نامعینی‌های سیستم توربین باد مورد استفاده قرار گرفته است [۱۹]. نتایج حاصل از این پژوهش با نتایج یک کنترل‌کننده بهینه مقاوم مقایسه شده است که نتایج، برتری روش کنترل مد لغزشی فرایپیچشی را نشان داده است. یک ربات

روابط دینامیکی حاکم بر ربات از روش لاغرانژ به صورت رابطه (۱) استفاده شده است.

$$\tau_i = \frac{d}{dt} \left( \frac{\partial K}{\partial \dot{\theta}_i} \right) - \frac{\partial K}{\partial \theta_i} + \frac{\partial U}{\partial \theta_i} \quad (1)$$

که در آن  $\theta_i$  متغیر تعیین یافته،  $K$  انرژی جنبشی تمام لینک‌های ربات،  $U$  نیزی پتانسیل تمام لینک‌های ربات و  $\tau$  گشتاور وارد شده به هر یک از مفاصل می‌باشد. با استخراج روابط سینماتیکی و استفاده از روش لاغرانژ معادلات دینامیکی حاکم بر ربات به صورت رابطه (۲) بیان می‌شود [۳۱].

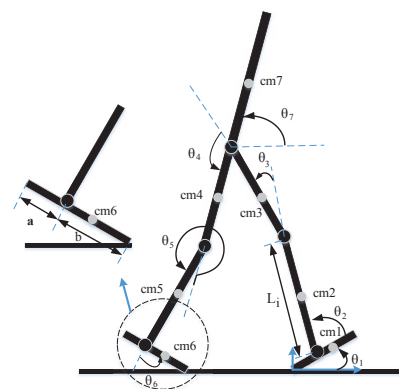
$$\tau = M(\theta)\theta'' + C(\theta, \theta') + G(\theta) + \tau_d \quad (2)$$

که در آن  $\theta$  گشتاور مربوط به عملگرها،  $M(\theta)$ .  $M(\theta)$ .  $M(\theta)$  ماتریس ممان اینرسی،  $C(\theta, \theta')$  ماتریس اثرات گریز از مرکز و ژیروسکوپی،  $G(\theta)$  بردار نیروهای گرانشی و  $\tau_d$  گشتاور اغتشاش می‌باشند. معادلات استفاده شده در این مقاله از مرجع [۳] می‌باشند که با نتایج تجربی اعتبار سنجی شده‌اند.

### ۳- طراحی مسیر مطلوب قدمزنی

در این مقاله به منظور طراحی مسیرهای مطلوب مفاصل ربات از الگوریتم مرجع [۲۷] استفاده شده است. ابتدا مسیر حرکت مفصل ران ربات و مسیر حرکت کف پاهای ربات مشخص می‌شود. با معین شدن این مسیرهای مطلوب مفاصل ربات به صورت یکتا به دست می‌آیند. طراحی مسیر در دو مرحله تک و دو تکیه‌گاهی انجام می‌شود. در این روش برای قابل درک شدن طرز راه رفتن ربات، پاهای ربات به عنوان پای راست و پای چپ مشخص شده‌اند. برای ادامه حرکت کافی است که نقش پاهای راست و چپ با یکدیگر عوض شود و حرکت ادامه یابد. مطلب مهم برای ادامه حرکت این است که مبدأ مختصات قرار گرفته در قوزک پای تکیه‌گاه باید بعد از هر گام به اندازه  $D$  به سمت جلو انتقال داده شود تا بر روی قوزک پای تکیه‌گاه جدید قرار گیرد. در شکل ۲ پارامترهای لازم برای طراحی مسیر پایین تنه ربات مشخص شده است.

در شکل ۲،  $\theta_e$  زاویه شروع فاز دو تکیه‌گاهی،  $\theta_a$  زاویه پایان فاز دو تکیه‌گاهی،  $D_1$  طول یک گام،  $L_i$  فاصله طولی مفصل ران در ابتدای فاز



شکل ۱: شماتیک ربات اسکلت خارجی پایین تنه هفت درجه آزادی

Fig. 1. Schematic of the 7-DOF lower limb exoskeleton

بالاتنه با الگوریتم جستجوی هارمونی.

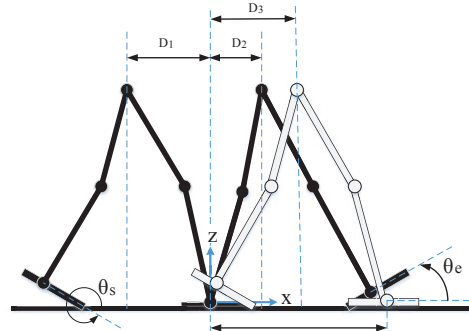
ساختمار این مقاله بدین ترتیب است: در قسمت ۲ ربات مورد نظر معرفی شده، مسیرهای مطلوب مفاصل ربات در دو فاز تک و دو تکیه‌گاهی استخراج شده و معادلات دینامیکی آن با استفاده از روش لاغرانژ ارائه شده است. در قسمت ۳ روش کنترل ارائه شده و پایداری آن بررسی شده است. در قسمت ۴ معیار پایداری نقطه گشتاور صفر ارائه شده و مسیر مطلوب مفصل بالا تنه به منظور برقراری پایداری تعیین شده است. در قسمت ۵ مدل دینامیکی به همراه مسیر مطلوب مفاصل شبیه‌سازی شده و کنترل کننده‌های طراحی شده بر روی مدل استخراجی از نرم‌افزار آدامز اعمال شده است. در آخر نتایج حاصل از پژوهش در بخش ۶ بیان شده است.

### ۲- معرفی و مدل‌سازی مکانیزم پیشنهادی

تطابق سینماتیکی درجات آزادی ربات با بدن انسان و قرارگیری مفاصل ربات دقیقاً بر روی مفاصل شخص باعث تبعیت کامل سینماتیک ربات از سینماتیک کاربر می‌شود. این روش بسیاری از مشکلات طراحی را حل می‌کند. این رویکرد در طراحی را می‌توان در سری ربات‌های هال مشاهده کرد [۲۹ و ۳۰]. در این مقاله، مدل استفاده شده شامل هفت لینک و هفت مفصل می‌باشد. در شکل ۱ شماتیک ربات اسکلت خارجی مورد مطالعه نشان داده شده است.

در شکل ۱،  $\theta_i$  و  $L_i$  برای  $i$  از ۱ تا ۷ به ترتیب زوایای لینک‌ها، طول لینک‌ها و مرکز جرم لینک‌های ربات می‌باشد.  $a$  و  $b$  نیز ابعاد کف پای ربات می‌باشد. برای استخراج Bookmark not defined

$$\begin{aligned}
 \theta_{ankle-r} &= \begin{cases} \theta_s & t = 0 \\ \theta_e & t = Ts \\ 0 & Ts < t < Ts + Td \end{cases} \\
 z_{ankle-r} &= \begin{cases} -D + b(1 - \cos(\theta_s)) & t = 0 \\ x_{\max} & t = 0.5 Ts \\ D - a(1 - \cos(\theta_e)) & t = Ts \\ D - a(1 - \cos(\theta_{ankle-r})) & Ts < t < Ts + Td \end{cases} \\
 a_{ankle-r} &= \begin{cases} -b \sin(\theta_s) & t = 0 \\ z_{\max} & t = 0.5 Ts \\ a \sin(\theta_e) & t = Ts \\ a \sin(\theta_{ankle-r}) & Ts < t < Ts + Td \end{cases} \\
 D_p &= \begin{cases} D_1 & t = 0 \\ D_2 & t = Ts \\ D_3 & t = Ts + Td \end{cases} \\
 z_p &= z_h = \text{constant} \quad Ts < t < Ts + Td
 \end{aligned} \tag{3}$$



شکل ۲: پارامترهای مسیر پایین تنہ

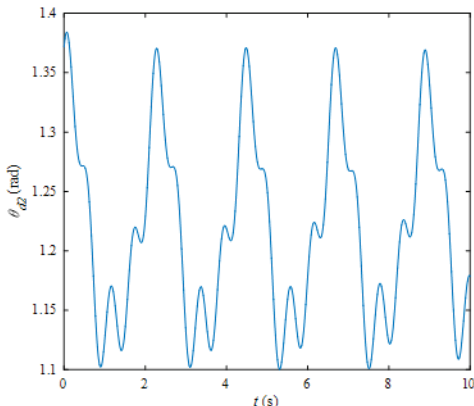
Fig. 2. Design parameters of the lower limb trajectory

در رابطه (۳)، زاویه مج پای راست،  $x_{ankle-r}$  مختصه طولی مج پای راست،  $z_{ankle-r}$  ارتفاع مج پای راست،  $x_{hip}$  مختصه طولی مفصل ران و  $z_{hip}$  ارتفاع مفصل ران می باشد. مسیر مربوط به مج پای چپ برای استفاده در تعیین مسیر در فاز دو تکیه گاهی در رابطه (۴) آورده شده است.

$$\begin{aligned}
 \theta_{ankle-l} &= \begin{cases} 0 & 0 < t < Ts \\ \theta_s & t = Ts + Td \end{cases} \\
 x_{ankle-l} &= \begin{cases} 0 & 0 < t < Ts \\ b(1 - \cos(\theta_{ankle-l})) & Ts < t < Ts + Td \end{cases} \\
 z_{ankle-l} &= \begin{cases} 0 & 0 < t < Ts \\ -a \sin(\theta_{ankle-l}) & Ts < t < Ts + Td \end{cases}
 \end{aligned} \tag{4}$$

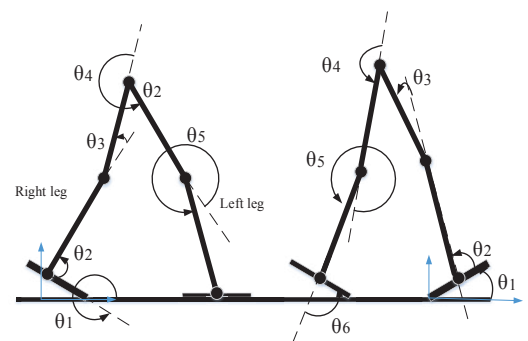
در رابطه (۴)، زاویه مج پای چپ،  $x_{ankle-l}$  مختصه طولی مج پای چپ و  $z_{ankle-l}$  ارتفاع مج پای چپ می باشد. بهترین شرایط برای حرکت ربات هنگامی است که سرعت برخورد پا با سطح زمین نزدیک به صفر باشد. بدین گونه می توان از اثرات ضربه صرف نظر کرد. برای کم کردن اثرات ضربه و همچنین برای به دست آوردن حرکتی هموار، متناسب و پیوسته، شتاب و سرعت خطی و زاویه ای درابتدای فاز تک تکیه ای و انتهای فاز دو تکیه گاهی برای مفاصل ران و مج های پاهای چپ و راست برابر در نظر گرفته شده است. سینماتیک معکوس ربات برای دو فاز تک و دو تکیه گاهی بر اساس نمایش زاویه مفاصل در شکل ۳ ارائه شده است.

تک تکیه گاهی،  $D_2$  فاصله طولی مفصل ران در پایان فاز تک تکیه گاهی،  $D_3$  فاصله طولی مفصل ران در پایان فاز دو تکیه گاهی می باشد. برای مشخص کردن مسیر کف پا در هر لحظه به دو مؤلفه در راستای X و Z و یک مؤلفه θ که معرف زاویه کف پا باشد، نیاز است. اولین گام حرکت را پای راست ربات انجام می دهد و پای چپ به عنوان تکیه گاه عمل می کند. در مرحله یک تکیه گاهی حرکت با جدا شدن پنجه پای راست از زمین شروع شده و با تماس پاشنه پای راست با سطح زمین به انتهای می رسد. این فاز از حرکت در مدت زمان  $Ts$  انجام می شود. در این مرحله پای چپ به طور کامل با سطح زمین در تماس می باشد. فاز دو تکیه گاهی با تماس پاشنه پای راست با سطح زمین شروع می شود. در این مرحله همزمان با فرود آمدن پای راست، پای چپ از سطح زمین بلند می شود. این فاز از حرکت در مدت زمان  $Td$  انجام می شود. با استفاده از سینماتیک معکوس ربات در دو فاز تک و دو تکیه گاهی و همچنین معلوم بودن مسیرهای کف پا و مفصل ران ربات مسیرهای حرکت مطلوب مفاصل ربات به صورت یکتا بدست می آید [۲۷]. مسیرهای مج پا و مفصل ران با گذراندن منحنی مناسب از چند نقطه که مج پا و مفصل ران از آنها می گذرند بدست می آید.



شکل ۵: مسیر مطلوب مفصل شماره ۲

Fig. 5. desired trajectory of the second joint



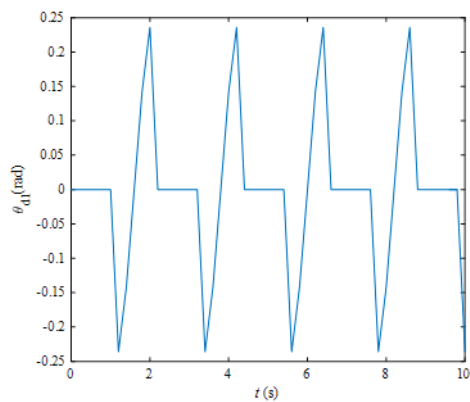
شکل ۳: فاز دو و تک تکیه‌گاهی ربات

Fig. 3. single and double support phases

Table 1. Hip and Ankle parameters

جدول ۱: مقادیر پارامترهای مسیر مفاصل مچ و ران ربات

| مقدار | واحد | پارامتر            |
|-------|------|--------------------|
| ۱     | S    | $T_S$              |
| -۰/۱  | S    | $T_d$              |
| -۰/۵  | M    | $D$                |
| -۰/۲۵ | M    | $D_I$              |
| -۰/۲۰ | M    | $D_2$              |
| -۰/۲۵ | M    | $D_3$              |
| -۰/۲۵ | M    | $x_{max}$          |
| -۰/۲۰ | M    | $z_{max}$          |
| ۱     | M    | $z_h$              |
| -۰/۲۵ | Rad  | $\dot{\theta}_\xi$ |



شکل ۴: مسیر مطلوب مفصل شماره ۱

Fig. 4. desired trajectory of the first joint

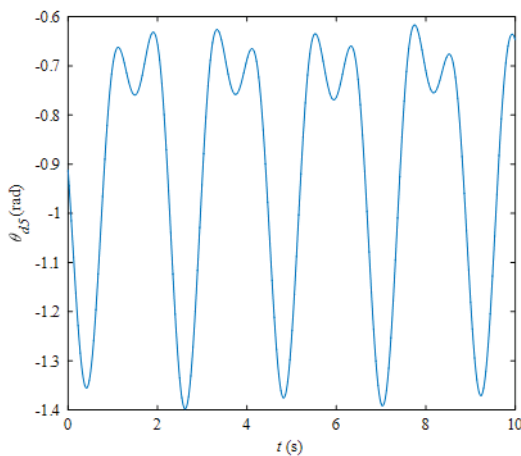
معادلات سینماتیک معکوس مربوط به فاز تک تکیه‌گاهی و دو تکیه‌گاهی برای ربات استخراج شده و بر اساس مسیرهای تعریف شده برای مفاصل مچ و ران ربات، مسیرهای مطلوب مفاصل بهصورت شکل‌های ۴ تا ۹ می‌شد. مقادیر پارامترهای موجود در مفاصل مچ و ران ربات بر مبنای مطالعه تجربی صورت گرفته برای حرکتی با سرعت ۰/۵ متر بر ثانیه بهصورت جدول ۱ می‌باشد.

#### ۴- کنترل کننده تطبیقی مد لغزشی فراپیچشی<sup>۱</sup>

در این مقاله به منظور تحقیب مسیر تعیین شده برای مفاصل توسط

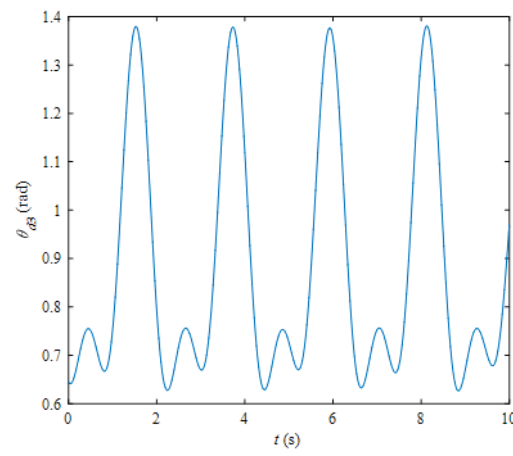
۱ .Adaptive Super Twisting Mode Controller (ASTSMC)

ربات و همچنین مقابله با اغتشاشات، نامعینی‌ها و دینامیک‌های مدل نشده از کنترل کننده تطبیقی مد لغزشی فراپیچشی استفاده شده است. روش کنترل مد لغزشی یکی از روش‌های کنترلی است که در دسته کنترل‌های مقاوم قرار می‌گیرد [۳۲]. بهمنظور طراحی کنترل کننده مد لغزشی، برای هر متغیر حالت  $q$  خطای صورت  $e = q - q_d$  در نظر گرفته شده و یک سطح متغیر با زمان مطابق با رابطه (۵) تعریف شده است.



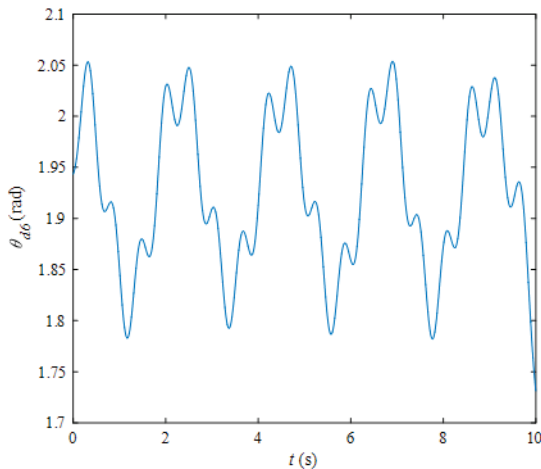
شکل ۸: مسیر مطلوب مفصل شماره ۵

Fig. 8. desired trajectory of the fifth joint



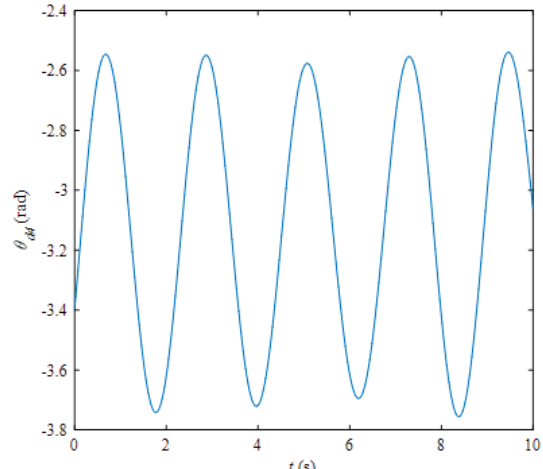
شکل ۶: مسیر مطلوب مفصل شماره ۳

Fig. 6. desired trajectory of the third joint



شکل ۹: مسیر مطلوب مفصل شماره ۶

Fig. 9. desired trajectory of the sixth joint



شکل ۷: مسیر مطلوب مفصل شماره ۴

Fig. 7. desired trajectory of the fourth joint

$$S' = (q'' - q_d'') + \lambda(q' - q_d')$$
(۶)

$$S(q, t) = \left(\frac{d}{dt} + \lambda\right)^{n-1} e$$
(۵)

با قرار دادن مشتق سطح لغزش برابر صفر و استفاده از رابطه (۳)، قانون کنترلی  $\hat{\tau}(t)$  به صورت رابطه (۷) بدست می‌آید.

$$\hat{\tau}(t) = C(\theta, \theta') + G(\theta) + M(q_d'' - \lambda(q' - q_d')) + \tau_d$$
(۷)

که در آن  $C$  یک ثابت اکیداً مثبت و  $n$  بعد فضای حالت است که برای ربات مورد مطالعه برابر با ۳ می‌باشد. هدف از طراحی کنترل کننده مدل لغزشی، قرار دادن شبی سطح متغیر با زمان در نزدیکی صفر است. با مشتق‌گیری نسبت به زمان، شبی سطح متغیر با زمان از رابطه (۶) بدست می‌آید.

$$V_i' = \frac{1}{\sqrt{|S_i|}} (\delta_i^T P_i \delta_i + \tau_{di} q_i^T \delta_i)$$

$$\mathcal{Q}_i = \frac{1}{2} \begin{bmatrix} -\frac{4\beta_i}{2} + A_i^2 & -A_i \\ A_i & 1 \end{bmatrix} \quad (12)$$

$$q_i^T = -\frac{4\beta_i}{2} + \frac{A_i^2}{2} - \frac{A_i}{2}$$

با جایگذاری  $Q$  و  $q^T$  در رابطه '  $V$  داریم:

$$V_i' = \frac{1}{\sqrt{|S_i|}} (\delta_i^T \mathcal{Q}_i \delta_i)$$

$$\mathcal{Q}_i = \frac{1}{2} \begin{bmatrix} -\frac{4\beta_i}{2} + A_i^2 - \left(\frac{8\beta_i}{A_i} + A_i\right)\Delta_i & -A_i - 2\Delta_i \\ -A_i - 2\Delta_i & 1 \end{bmatrix} \quad (13)$$

در صورت برقراری شرط رابطه (۱۴)،  $V_i'$  منفی معین شده و سیستم حلقه بسته پایدار است.

$$A_i > 2\Delta_i \quad , \quad -\frac{\beta_i}{2} > A_i \quad \frac{5A_i\Delta_i}{2A_i - 4\Delta_i} \quad (14)$$

## ۵- معیار پایداری نقطه گشتاور صفر<sup>۱</sup>

نقطه گشتاور صفر نقطه‌ای است روی زمین به طوری که گشتاور نیروی کلی اینرسی (شامل مجموع نیروی اینرسی و نیروی گرانشی) ربات صفر شود [۳۵]. براساس این معیار، نقطه گشتاور صفر نقطه‌ای بر روی سطح تماس کف پا ربات و زمین است که در آنجا برآیند تمام نیروهای وارد بر ربات را می‌توان با یک نیروی تک جایگزین کرد [۲۶]. اگر این نقطه درون محدوده تعادل قرار گیرد ربات پایدار است. در فاز تک تکیه‌گاهی محدوده تعادل شامل یک کف پا و در فاز دو تکیه‌گاهی چند ضلعی بسته حاصل از دو پا است. روابط مربوط به نقطه گشتاور صفر به صورت رابطه (۱۵) می‌باشد.

$$x_{ZMP} = \frac{\sum_{i=1}^n m_i (z_i'' + g) x_i - \sum_{i=1}^n m_i x_i'' z_i - \sum_{i=1}^n I_{iy} \theta_{iy}''}{\sum_{i=1}^n m_i (z_i'' + g)} \quad (15)$$

$$y_{ZMP} = \frac{\sum_{i=1}^n m_i (z_i'' + g) y_i - \sum_{i=1}^n m_i y_i'' z_i - \sum_{i=1}^n I_{ix} \theta_{ix}''}{\sum_{i=1}^n m_i (z_i'' + g)}$$

پدیده چترینگ یکی از مهمترین معایب روش کنترلی مد لغزشی بوده که باعث افزایش مصرف انرژی می‌شود. به منظور مقابله با این پدیده، یک جمله نایپوسته به صورت یک لایه مرزی به قانون کنترلی اضافه شده است که در نهایت قانون کنترلی برای ربات به صورت رابطه (۸) استخراج شده است.

$$\tau(t) = \hat{\tau}(t) - K \operatorname{sign}(S) \quad (8)$$

که در آن  $K$  یک ثابت مثبت است. استفاده از لایه مرزی برای حذف پدیده چترینگ نه تنها باعث حذف کاملاًین پدیده نمی‌شود بلکه از طرفی باعث کاهش ویژگی مقاوم بودن کنترل کننده مدل‌لغزشی فرایپیچشی توانایی مناسب در حذف پدیده چترینگ بدون کاستن از ویژگی مقاوم بودن کنترل کننده را دارا می‌باشد. بر همین اساس قانون اصلاح شده کنترلی به صورت رابطه (۹) بیان شده است [۳۳ و ۳۴].

$$\begin{aligned} \tau_i(t) &= \hat{\tau}_i(t) + \omega_i \\ \omega_i &= A_i \sqrt{|S_i|} \operatorname{sign}(S_i) + v_i \\ v_i' &= -\frac{\beta}{2} \operatorname{sign}(S_i) \end{aligned} \quad (9)$$

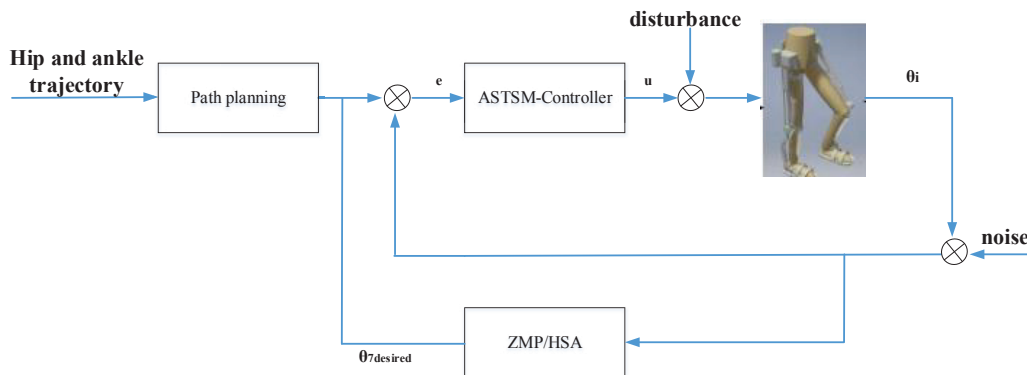
در رابطه بالا  $\beta = 2\varepsilon A$  و همچنین داریم:

$$A_i' = \begin{cases} W_1 \sqrt{\frac{\gamma_1}{2}} \operatorname{sign}(|S_i| - \mu) & A > a_m \\ \eta & A < a_m \end{cases} \quad (10)$$

که در آن  $W_1$ ،  $\gamma_1$ ،  $\varepsilon$ ،  $\mu$  و  $\eta$  ثابت می‌باشند. به منظور بررسی پایداری روش کنترلی تابع لیاپانوف مثبت معین به صورت رابطه (۱۱) در نظر گرفته می‌شود [۲۰]. با مشتق‌گیری از تابع لیاپانوف و ساده سازی ریاضی رابطه (۱۲) استخراج شده است.

$$\begin{aligned} V_i &= \delta_i^T P_i \delta_i \\ \delta_i &= \begin{bmatrix} \sqrt{|S_i|} \operatorname{sign}(S_i) & v_i \end{bmatrix}^T \\ P_i &= \begin{bmatrix} -\frac{4\beta_i}{2} + A_i^2 & -A_i \\ -A_i & 2 \end{bmatrix} \end{aligned} \quad (11)$$

۱ Zero Momentum Point (ZMP)



شکل ۱۰: بلوك دياگرام کنترل کننده پیشنهادی

Fig. 10. Block diagram of the proposed controller

$$\begin{aligned}\theta'_7(0) &= \theta'_7(Ts + Td) \\ \theta''_7(0) &= \theta''_7(Ts + Td)\end{aligned}\quad (17)$$

تابع هدف به گونه‌ای در نظر گرفته شده است که در هر لحظه بالاترین حاشیه پایداری را برای ربات و حداقل اختلاف در مسیر حرکت مفاصل ربات نسبت به مسیرهای مرجع را ایجاد کند. همچنین محدوده مجاز برای حرکت لینک کمر بین ۱۱۰ تا ۶۵ درجه در نظر گرفته شده است.

$$CF = \int |ZMP - ZMP_{desired}|^2 + \sum_{i=1}^7 \int |e_i|^2 \quad (18)$$

$ZMP$ ، نقطه ممان صفر در هر لحظه از حرکت ربات می‌باشد.  $ZMP_{desired}$  نقطه ممان صفر مطلوب در فاز دو و تک تکیه‌گاهی است که بر اساس بیشینه مقدار پایداری ربات تعریف شده و برای  $e$  از ۱ تا ۷ خطای تعییب مسیرهای مرجع مفاصل ربات است. در نهایت بلوك دياگرام کنترلی به صورت شکل ۱۰ ارائه شده است.

در شکل ۱۰،  $\theta$  برای  $t$  از ۱ تا ۷ موقعیت زاویه‌ای مفاصل ربات،  $u$  سیگنال کنترلی و  $e$  سیگنال خطا می‌باشد.

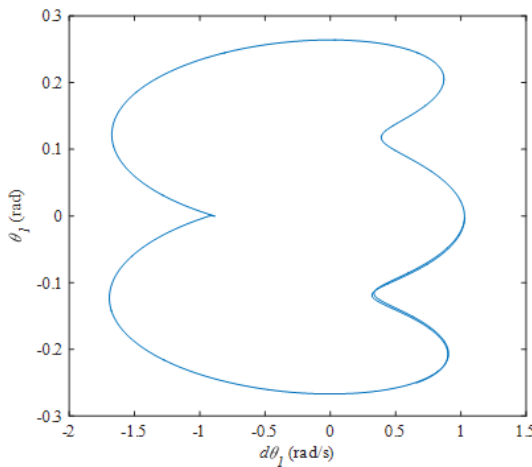
## ۶- شبیه‌سازی

در این مقاله با استفاده از روش لاگرانژ معادلات دینامیکی حرکت ربات پایین تنه و سپس مسیرهای مرجع استخراج شده برای هر یک از مفاصل ربات با کنترل کننده‌های تطبیقی بهینه مدل‌گذشی فراپیچشی و مدل‌گذشی

در رابطه (۱۵)،  $x$ ،  $y$  و  $z$  مختصات مرکز جرم لینک‌های ربات می‌باشد. همچنین  $\theta''_{ix}$  و  $\theta''_{iy}$  به ترتیب شتاب زاویه‌ای لینک‌ها در راستای افقی و عمودی می‌باشد. در تعیین حرکت پایین‌تنه ربات پایداری ربات در نظر گرفته نشده است. بنابراین از حرکت بالاتنه ربات در جهت جبران پایداری استفاده می‌شود. برای این منظور مسیر حرکت مفصل بالا تنه ربات به گونه‌ای تعیین می‌شود که در هر لحظه معیار پایداری نقطه گشتوار صفر برای ربات برقرار باشد. پارامترهای زاویه، سرعت و شتاب زاویه‌ای بالاتنه به منظور استخراج الگوی حرکتی پایدار به گونه‌ای تعیین شده که در هر لحظه بتوان با اتخاذ مقادیر مناسب برای آن‌ها ربات را در حالت پایدار قرار داد. مسیر مطلوب مفصل کمر با استفاده از چند نقطه معلوم در یک بازه حرکتی توسط یک منحنی مرتبه پنج معرفی شده و سپس پارامترهای مسیر با کمینه‌سازی یک تابع هدف مناسب بهینه شده است. رابطه (۱۶) چند نقطه معلوم از یک بازه حرکتی مفصل بالا تنه را بیان می‌کند.

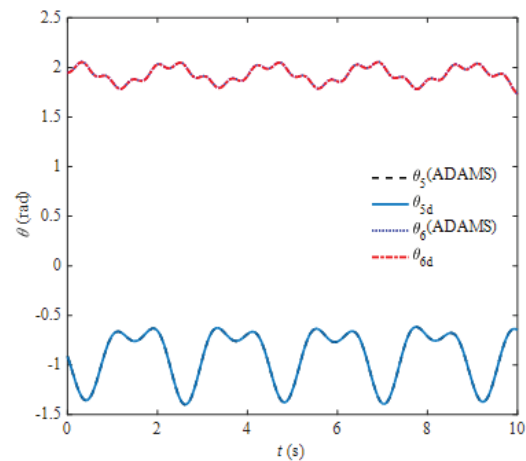
$$\theta_7 = \begin{cases} \frac{\pi}{2} - \alpha & t = 0 \\ \gamma & t = 0.5 Ts \\ \frac{\pi}{2} - \alpha & t = Ts \\ \sigma & t = Ts + Td \end{cases} \quad (16)$$

که در آن  $\alpha$ ،  $\gamma$  و  $\sigma$  پارامترهای ثابت می‌باشد. همچنین برای داشتن مسیری هموار، متناوب و پیوسته داریم:



شکل ۱۲: نمودار صفحه فاز مفصل اول

Fig. 12. Phase-plan diagram of the first joint



شکل ۱۱: مسیر مفاصل ۵ و ۶ در مدل دینامیکی و آدامز

Fig. 11. Trajectories of fifth and sixth joints in ADAMS

شده است.

با توجه به شکل ۱۱، منحنی‌های مسیر برای مدل لاگرانژ و نرم‌افزار آدامز تطابق خوبی با یکدیگر دارند. برای مقایسه بهتر، مجموع مجذور خطاهای بین مسیرهای مدل لاگرانژ و نرم‌افزار آدامز محاسبه شده است که مقدار خطا برای مفصل ۵ برابر با  $0.19 \times 10^6$  (مجذور رادیان) و برای مفصل زانو برابر با  $0.008 \times 10^6$  (مجذور رادیان) می‌باشد که دقت معادلات دینامیکی بدست آمده برای ربات را نشان می‌دهد. در جدول ۳ پارامترهای بهینه کنترل کننده تطبیفی مد لغزشی فراپیچشی و پارامترهای مسیر مفصل بالا تنہ ارائه شده است.

برای بررسی عملکرد کنترل کننده بهینه تطبیقی مد لغزشی فراپیچشی نمودار صفحه فاز برای هفت مفصل ربات در شکل‌های ۱۲ تا ۱۸ ارائه شده است.

در شکل‌های ۱۲ تا ۱۸ نمودار صفحه فاز به صورت یک چرخه حدی تشکیل شده است که عملکرد مطلوب کنترل کننده پیشنهادی را در تعقیب پایدار و پیوسته مسیرهای مرجع مفاصل ربات نشان می‌دهد. بهمنظور مقایسه عملکرد دو کنترل کننده طراحی شده، نمودارهای خطای تعقیب مسیرهای مطلوب مفاصل، سیگنال‌های کنترلی، مسیر مطلوب مفصل بالا تنہ و نقطه گشتاور صفر برای دو کنترل کننده طراحی شده مطابقت داشته‌اند. در شکل‌های ۱۹ تا ۲۵ نمودارخطای تعقیب مسیرهای مطلوب مفاصل ربات برای دو کنترل کننده طراحی شده نشان داده

بهینه ر迪ابی شده است. همچنین مسیر مرجع مفصل بالا تنہ ربات به عنوان جبرانساز پایداری بر اساس معیار نقطه گشتاور صفردر هر لحظه تعیین شده است. پارامترهای کنترل کننده‌ها و همچنین پارامترهای مسیر مفصل بالا تنہ به منظور دستیابی به حداکثر پایداری و کمترین خطای ریدیابی ممکن توسط الگوریتم بهینه‌سازی جستجوی هارمونی تعیین شده‌اند. مقاوم بودن کنترل کننده‌ها در برابر اغتشاشات و عدم قطعیت‌های سیستم با در نظر گرفتن اغتشاشاتی با دامنه‌ای معادل  $20^\circ$  درصد ماکریم دامنه حرکت هر یک از مفاصل و با فرکانس  $3\text{ هرتز}$  و همچنین عدم قطعیت‌هایی به صورت  $20^\circ$  درصد مقدار نامی هر یک از پارامترها بررسی شده است. در شبیه‌سازی‌ها با توجه به عملکردهای موجود، محدوده مجاز برای تلاش کنترلی  $-80^\circ$  تا  $+80^\circ$  نیوتون متر و حد بالای سرعت زاویه‌ای مفاصل ربات  $200^\circ/\text{s}$  درجه بر ثانیه در نظر گرفته شده است. بهمنظور مقایسه عملکرد کنترل کننده‌های طراحی شده در این مقاله نمودارهای خطای، نمودار انرژی مصرفی و نمودار نقطه گشتاور صفر برای هر یک از کنترل کننده‌ها ارائه شده است. بهمنظور اعتبارسنجی مدل دینامیکی استخراج شده از روش لاگرانژ، ربات در نرم‌افزار آدامز مدل سازی شده و نتایج روش لاگرانژ با نتایج حاصل از آدامز مقایسه شده است. در جدول ۲ پارامترهای ربات اسکلت خارجی پایین تنہ ارائه شده است. همچنین به عنوان نمونه مسیرهای حاصل از دینامیک معکوس مفصل ۵ و ۶ ربات حاصل از روش لاگرانژ و نرم‌افزار آدامز در شکل ۱۱ مقایسه

**جدول ۲: Table 2. Lower limb exoskeleton robot parameters**

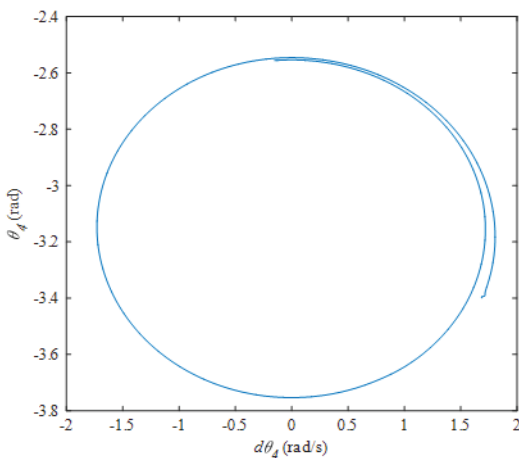
مقادیر پارامترهای مسیر مفاصل مچ و ران ربات

| پارامتر  | واحد            | مقدار |
|----------|-----------------|-------|
| $m_1$    | Kg              | ۰/۸   |
| $m_2$    | Kg              | ۳/۲   |
| $m_3$    | Kg              | ۳/۸   |
| $m_4$    | Kg              | ۳/۸   |
| $m_5$    | Kg              | ۳/۲   |
| $m_6$    | Kg              | ۰/۸   |
| $m_7$    | Kg              | ۴۰    |
| $I_1$    | $\text{kg m}^2$ | ۰/۱۰  |
| $I_2$    | $\text{kg m}^2$ | ۰/۷۵  |
| $I_3$    | $\text{kg m}^2$ | ۰/۸۳  |
| $I_4$    | $\text{kg m}^2$ | ۰/۸۳  |
| $I_5$    | $\text{kg m}^2$ | ۰/۷۵  |
| $I_6$    | $\text{kg m}^2$ | ۰/۱۰  |
| $I_7$    | $\text{kg m}^2$ | ۴/۸   |
| $a$      | M               | ۰/۰۷۵ |
| $b$      | M               | ۰/۲۷۵ |
| $L_2$    | M               | ۰/۴۴  |
| $L_3$    | M               | ۰/۴۸  |
| $L_4$    | M               | ۰/۴۸  |
| $L_5$    | M               | ۰/۴۴  |
| $L_7$    | M               | ۰/۵   |
| $c_{m1}$ | M               | ۰/۱۲  |
| $c_{m2}$ | M               | ۰/۲۳  |
| $c_{m3}$ | M               | ۰/۲۳۸ |
| $c_{m4}$ | M               | ۰/۲۳۸ |
| $c_{m5}$ | M               | ۰/۲۳  |
| $c_{m6}$ | M               | ۰/۱۲  |
| $c_{m7}$ | M               | ۰/۲۳۵ |

Table 3. optimal control parameters and upper limb trajectory parameters

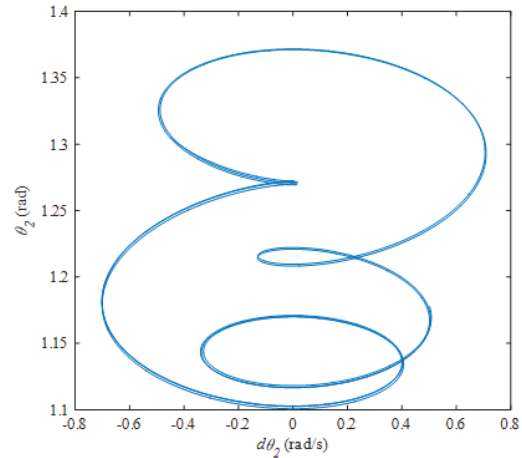
جدول ۳: پارامترهای بهینه کنترل کننده و پارامترهای مسیر مفصل بالا تنہ

| پارامتر    | واحد | مقدار |
|------------|------|-------|
| $\lambda$  | -    | ۶۳    |
| $W_1$      | -    | ۲/۸   |
| $\gamma_1$ | -    | ۰/۶   |
| $a_m$      | -    | ۰/۸   |
| $\mu$      | -    | ۱/۳   |
| $\eta$     | -    | ۱/۶۴  |
| $\alpha$   | Rad  | -۰/۱۵ |
| $\gamma$   | Rad  | ۱/۱۸  |
| $\sigma$   | Rad  | ۱/۴۷  |



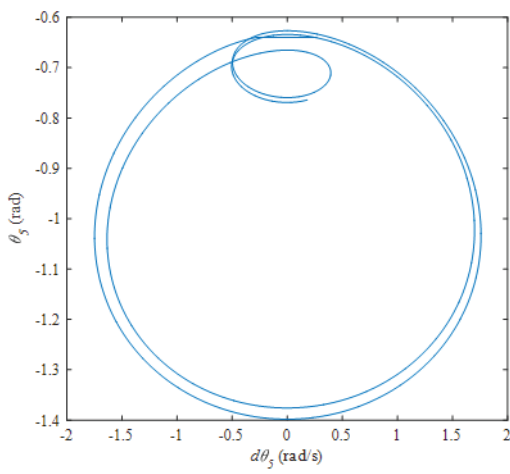
شکل ۱۵: نمودار صفحه فاز مفصل چهارم

Fig. 15. Phase-plan diagram of the fourth joint



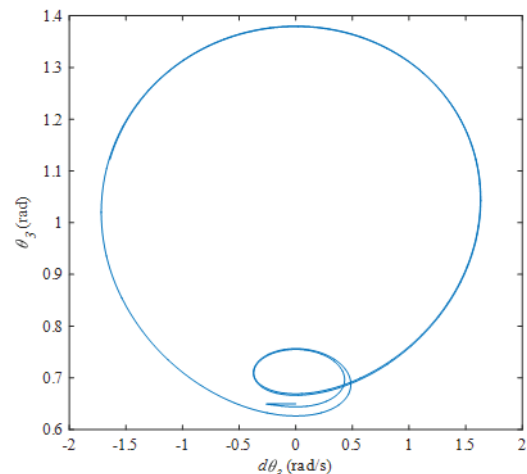
شکل ۱۳: نمودار صفحه فاز مفصل دوم

Fig. 13. Phase-plan diagram of the second joint



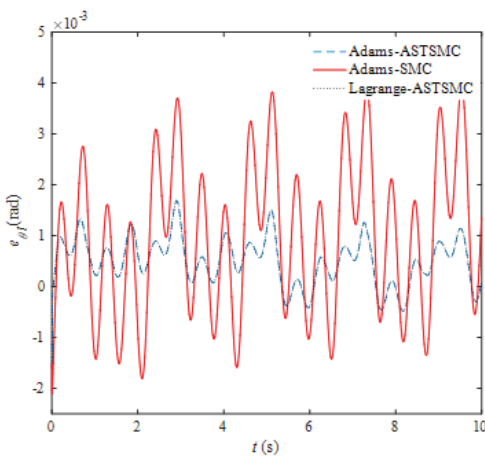
شکل ۱۶: نمودار صفحه فاز مفصل پنجم

Fig. 16. Phase-plan diagram of the fifth joint



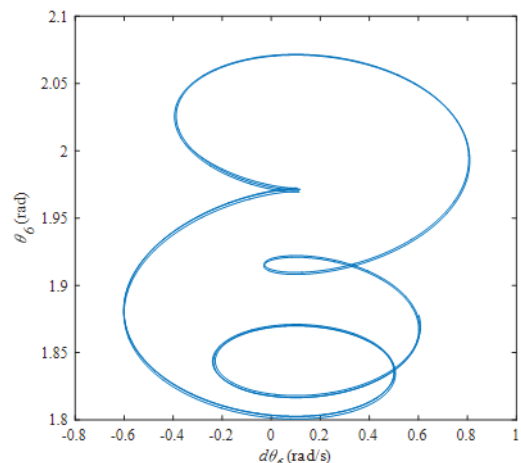
شکل ۱۴: نمودار صفحه فاز مفصل سوم

Fig. 14. Phase-plan diagram of the third joint



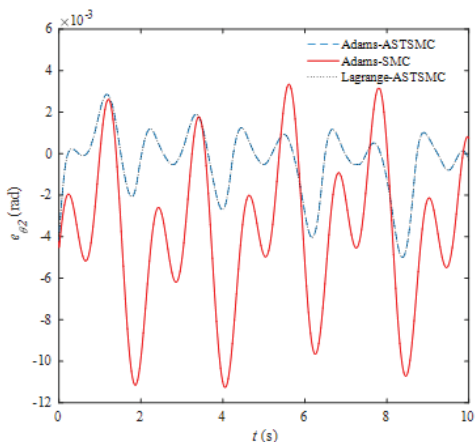
شکل ۱۹: خطای ریدیابی مسیر مطلوب مفصل اول

Fig. 19. Tracking error of the first joint



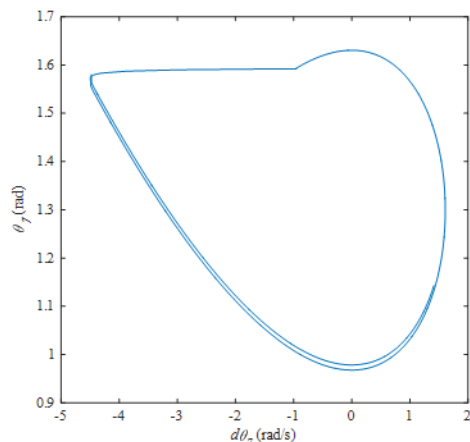
شکل ۱۷: نمودار صفحه فاز مفصل ششم

Fig. 17. Phase-plan diagram of the sixth joint



شکل ۲۰: خطای ریدیابی مسیر مطلوب مفصل دوم

Fig. 20. Tracking error of the second joint



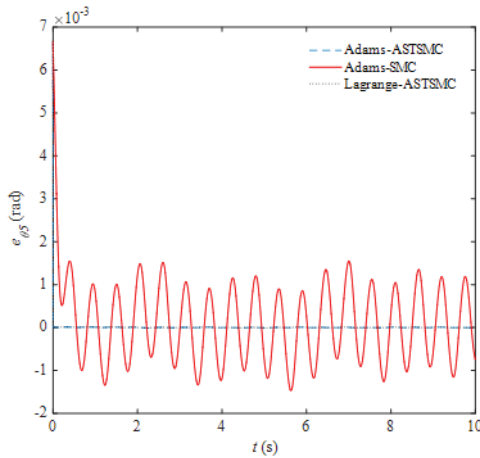
شکل ۱۸: نمودار صفحه فاز مفصل هفتم

Fig. 18. Phase-plan diagram of the seventh joint

سرعت همگرایی به مقدار صفر در کنترل کننده تطبیقی مد لغزشی فرایپچشی بالاتر از کنترل کننده مد لغزشی معمولی می‌باشد. یکی از ویژگی‌های کنترل کننده‌های مد لغزشی فرایپچشی همگرایی در زمان محدود می‌باشد که در کنترل ربات مورد مطالعه در این مقاله نیز این ویژگی دیده می‌شود. مجموع خطای تعقیب مسیرهای مرجع مفاصل برای کنترل کننده تطبیقی مد لغزشی فرایپچشی برابر با  $0.0248/0$  (مجذور درجه) و برای کنترل کننده مد لغزشی معمولی برابر با  $0.0823/0$  (مجذور درجه) می‌باشد. در شکل ۲۶

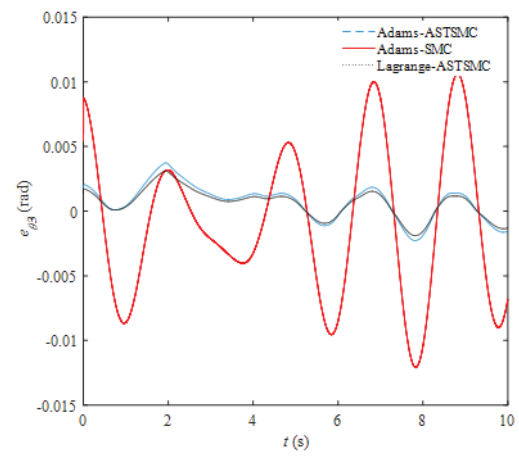
شده است.

با توجه به شکل‌های ۱۹ تا ۲۵ مشخص می‌شود که خطای تعقیب مسیرهای مرجع مفاصل برای کنترل کننده‌های طراحی شده در محدوده قابل قبولی قرار دارد. همچنین سیگنال‌های خطای حاصل از مدل بدست آمده از روش لاگرانژ و نرم افزار آدامز بسیار نزدیک به هم می‌باشند. دامنه سیگنال‌های خطای در کنترل کننده تطبیقی مد لغزشی فرایپچشی به میزان قابل توجهی کمتر از کنترل کننده مد لغزشی معمولی می‌باشد. همچنین



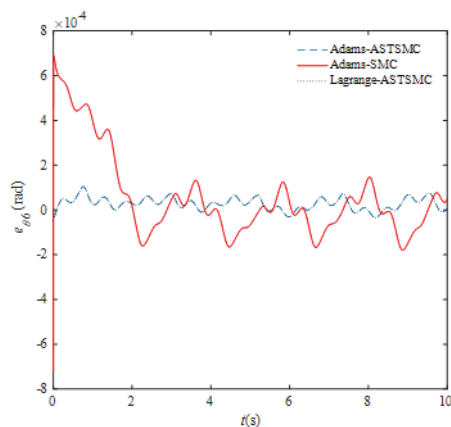
شکل ۲۳: خطای ردیابی مسیر مطلوب مفصل پنجم

Fig. 23. Tracking error of the fifth joint



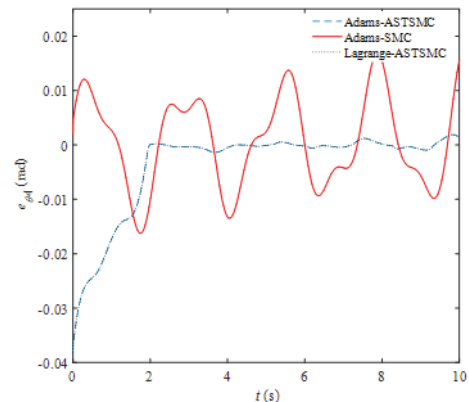
شکل ۲۱: خطای ردیابی مسیر مطلوب مفصل سوم

Fig. 21. Tracking error of the third joint



شکل ۲۴: خطای ردیابی مسیر مطلوب مفصل ششم

Fig. 24. Tracking error of the sixth joint



شکل ۲۲: خطای ردیابی مسیر مطلوب مفصل چهارم

Fig. 22. Tracking error of the fourth joint

با توجه به شکل ۳۰ مشخص می‌شود که تا عدم قطعیت حدود ۲۵ درصد پارامترهای نامی سیستم هر دو کنترل کننده دارای عملکرد ثابتی هستند. برای عدم قطعیت‌های بالای ۲۵ درصد عملکرد کنترل کننده مد لغزشی بهینه معمولی نسبت به کنترل کننده بهینه تطبیقی مد لغزشی فراپیچشی تضعیف می‌شود.

## ۷- نتیجه‌گیری

در این مقاله روش کنترل بهینه تطبیقی مد لغزشی فراپیچشی به منظور مقابله با اختشاشات و عدم قطعیت‌های با دامنه نامعلوم سیستم و همچنین پدیده چترینگ که یکی از معایب کنترل کننده‌های مد لغزشی می‌باشد، ارائه شد. در کنترل کننده‌های بهینه مد لغزشی معمولی برای کاهش اثرات پدیده چترینگ از لایه مرزی استفاده می‌شود. در این حالت نه تنها پدیده چترینگ به طور کامل حذف نمی‌شود بلکه خاصیت مقاوم بودن کنترل کننده در مقابله با عدم قطعیت‌ها و اختشاشات کاهش می‌یابد. کنترل کننده‌های مد لغزشی معمولی در مقابله با اختشاشات و عدم قطعیت‌های با دامنه معلوم دارای کارایی مناسبی هستند. با توجه به اینکه دستیابی به محدوده اختشاشات و عدم قطعیت‌های سیستم همواره ممکن نیست بنابراین در روش کنترل پیشنهاد شده از یک مکانیزم تطبیق برای مقابله با اختشاشات و عدم قطعیت‌های با دامنه نامعلوم سیستم استفاده شد. همچنین برای ایجاد یک حرکت پایدار در ربات بر اساس معیار نقطه گشتاور صفر، از حرکت مفصل بالا تنہ ربات به عنوان جبرانساز پایداری ربات استفاده شده است. نتایج بدست آمده از روش کنترل بهینه تطبیقی مد لغزشی فراپیچشی با نتایج کنترل کننده مد لغزشی بهینه مقایسه شد که برتری روش کنترل بهینه تطبیقی مد لغزشی فراپیچشی در میزان خطای تعقیب مفاصل، مدت زمان همگرایی خطای به سمت صفر، میزان انرژی مصرفی، میزان پایداری بر اساس معیار نقطه گشتاور صفر و همچنین میزان مقاومت در برابر اختشاشات و عدم قطعیت‌های سیستم، قابل مشاهده است.

## منابع

- [1] R. Bogue, Exoskeletons and robotic prosthetics: a review of recent developments, *Industrial Robot: An International Journal*, 36(5) (2009) 421-427.
- [2] R. S. Mosher, Handy man to Hardiman, *Technical Report, SAE Technical Paper*, (1967).

سیگنال‌های کنترلی برای کنترل کننده بهینه تطبیقی مد لغزشی فراپیچشی ارائه شده است.

سیگنال‌های کنترلی برای هر دو کنترل کننده، در محدوده مناسب و کمتر از اشباع عملگرها قرار گرفته‌اند. بنابراین امکان انتخاب عملگر مناسب و اعمال سیگنال‌های کنترلی به عملگرها وجود دارد. مقدار میانگین دامنه سیگنال کنترلی برای کنترل کننده تطبیقی بهینه مد لغزشی فراپیچشی برابر با ۵۱/۱۷۸ ۳۷/۹۳۱ نیوتن متر و کنترل کننده بهینه مد لغزشی معمولی برابر با ۵۱/۱۷۸ نیوتن متر می‌باشد. دامنه سیگنال‌های کنترلی حاصل از روش تطبیقی مد لغزشی فراپیچشی نه تنها مقادیر کمتری نسبت به سیگنال‌های کنترلی روش مد لغزشی بهینه معمولی دارد، بلکه دارای شکل هموارتری نیز می‌باشد و برخلاف کنترل کننده مد لغزشی معمولی پدیده چترینگ در آن دیده نمی‌شود. در شکل ۲۷ نمودار نقطه گشتاور صفر برای دو کنترل کننده ارائه شده است. همانطور که در شکل ۲۷ قابل مشاهده است، هر دو کنترل کننده به کمک حرکت زاویه بالا تنہ می‌توانند حرکت پایداری برای ربات ایجاد کنند. مسیر نقطه گشتاور صفر تولید شده توسط کنترل کننده بهینه تطبیقی مد لغزشی فراپیچشی اختلاف کمتری با مسیر نقطه گشتاور صفر مطلوب دارد بنابراین حاشیه پایداری بالاتری را ایجاد خواهد کرد. این موضوع به دلیل دقت بالا در تعقیب مسیرهای مرجع مفاصل ربات و همچنین وجود سیگنال‌های کنترلی هموارتر و بدون نوسان و چترینگ است. میزان خطای نقطه گشتاور صفر نسبت به نقطه گشتاور صفر مطلوب برای کنترل کننده تطبیقی مد لغزشی فراپیچشی برابر با ۲/۵۳ (مجذور متر) و برای کنترل کننده مد لغزشی معمولی برابر با ۳/۱۹ (مجذور متر) می‌باشد. در شکل ۲۸ مسیر مفصل بالا تنہ برای دو کنترل کننده طراحی شده، ارائه شده است.

در شکل ۲۸ دو کنترل کننده طراحی شده، مسیر مفصل بالا تنہ دارای دامنه قابل قبول در محدوده زاویه ۹۰ درجه می‌باشد. همچنین دامنه حرکت مفصل بالا تنہ در کنترل کننده بهینه تطبیقی مد لغزشی فراپیچشی کمتر می‌باشد. در ادامه به منظور بررسی مقاومت کنترل کننده‌های پیشنهادی در برابر اختشاشات و عدم قطعیت‌های سیستم، با افزایش میزان اختشاشات و عدم قطعیت‌های سیستم، معيار خطای مجموع مجذور خطاهای تعقیب مفاصل سیستم برای آن‌ها در شکل‌های ۲۹ و ۳۰ ارائه شده است.

با توجه به شکل ۲۹ مشخص می‌شود که تا اختشاشات حدود ۴۰ درصد سیگنال کنترلی هر دو کنترل کننده دارای عملکرد ثابتی هستند. برای اختشاشات بالای ۴۰ درصد عملکرد کنترل کننده مد لغزشی بهینه معمولی نسبت به کنترل کننده بهینه تطبیقی مد لغزشی فراپیچشی تضعیف می‌شود.

- (2018) 38–47.
- [12] A. Goel, A. Swarup, MIMO Uncertain Nonlinear System Control via Adaptive High-Order Super Twisting Sliding Mode and its Application to Robotic Manipulator, *J Control Autom Electr Syst*, 28(1) (2018) 36–49.
- [13] T. Madani, B. Daachi, K. Djouani, Non-singular terminal sliding mode controller: Application to an actuated exoskeleton, *Mechatronics*, 33(1) (2016) 136–145.
- [14] C. Edwards, E. F. Colet, L. Fridman, Advances in variable structure and sliding mode control, Springer, Berlin, (2006) 50-280.
- [15] A. Sabanovic, L. M. Fridman, S. K. Spurgeon, Variable structure systems: from principles to implementation, *IEEE Transactions digital library*, 66 (7) (2004) 445–456.
- [16] G. Bartolini, A. Ferrara, E. Usai, V. I. Utkin, On multi-input chattering-free second-order sliding mode control, *IEEE transactions on automatic control*, 45(9) (2000) 1711–1717.
- [17] Y. Shtessel, C. Edward, L. Fridman, A. Levant, *Sliding Mode Control and Observation*, Springer, New York, (2014) 135–255.
- [18] A. Moreno, M. Osorio, A Lyapunov approach to second order sliding mode controllers and observer, 47th IEEE Conference on Decision and Control, Mexico, Cancun, 2008.
- [19] F. Zargham, A. H. Mazinan, Super-twisting sliding mode control approach with its application to wind turbine systems, Springer, 11(1) (2018) 1-19.
- [20] A. Goel, A. Swarup, MIMO Uncertain Nonlinear System Control via Adaptive High-Order Super Twisting Sliding Mode and its Application to Robotic Manipulator, *Journal of Control, Automation and Electrical Systems*, 28(1) (2017) 36–49.
- [3] M. Vukobratovic, B. Borovac, D. Surla, D. Stokic, *Biped Locomotion*, Springer-Verlag, Berlin, (1990) 1-349.
- [4] S. Jezernik, G. Colombo, T. Kelly, H. Frueh, M. Morari, Robotic Orthosis Lokomat: A rehabilitation and research tool, *Technology at the Neural Interface*, 6(1) (2003) 108–115.
- [5] A. Duschau-Wicke, T. Brunsch, L. Lünenburger, R. Riener, Adaptive support for Patient-Cooperative gait rehabilitation with the lokomat, *IEEE/RSJ International Conference on Intelligent Robots and Systems Acropolis Convention Center Nice, France*, 2008.
- [6] H. Kazerooni, Hybrid Control of the berkeley lower extremity exoskeleton (BLEEX), *The International Journal of Robotics*, 25(2) (2006) 561-573.
- [7] B. Siciliano, O. Khatib, *Springer Handbook of Robotics*, Springer-Verlag, Berlin, (2008) 773-793.
- [8] T. Yan, M. Cempini, C. M. Oddo, N. Vitiello, Review of assistive strategies in powered lower-limb orthosis and exoskeletons, *Robotics and Autonomous Systems*, 64(1) (2015) 120-136.
- [9] X. Wang, X. Li, J. Wang, X. Fang, X. Zhub, model-free adaptive sliding mode control for the multi degree-of-freedom robotic exoskeleton, *Information Sciences*, 327(1) (2015) 246-257 .
- [10] S. Chen, B. Yao, X. Zhu, Z. Chen, Q. Wang, S. Zhu, Y. Song, Adaptive Robust Backstepping Force Control of 1-DOF Joint Exoskeleton for Human Performance Augmentation, *IFAC*, 48(1) (2015) 142–147.
- [11] S. Han, H. Wang, Y. Tian, Advances in Engineering Software journal Model-free based adaptive nonsingular fast terminal sliding mode control with time-delay estimation for a 12 DOF multi-functional lower limb exoskeleton, *Advances in Engineering Software*, 119(1)

- Exoskeleton, Modares Mechanical Engineering, 99(9) (2017) 1-11. (in Persian)
- [29] H. Kawamoto, Y. Sankai, Power assist method based on phase sequence and muscle force condition for HAL, Advanced Robotics, 19(7) (2005) 717-734.
- [30] P.K. Kyaw, K. Sandar, M. Khalid, W. Juan, Y. Li, Z. Chen, Opportunities in robotic exoskeletons hybrid assistive limbSUIT (MT5009), Robotic Exoskeletons: Becoming Economically Feasible, 21(1) (2013).
- [31] J.J. Craig, Introduction to Robotics: Mechanics and Control, Hall, London, (2005) 85-310.
- [32] V. Hasani, M. Taghizadeh, M. Mazare, Modeling and position controller design of a servo-hydraulic actuator under variable loads using sliding mode control, Modares Mechanical Engineering, 17(6) (2016) 295-302 (in Persian).
- [33] M. Doakhan, M. Kabgianian, R. Nadafi, A. K. Eigoli, Trajectory Tracking of a Quadrotor for Obstacle Avoidance Using Super-Twisting Sliding Mode Controller and Observer, Modares Mechanical Engineering, 17(8) 333-342, 2017 (in Persian).
- [34] X. Yu, M. Ö. Efe, Recent Advances in Sliding Modes: From Control to Intelligent Mechatronics, Springer-Verlag, Berlin, (2015) 90-310.
- [35] A. Gocwami, Postural stability of Biped Robots and the Foot-Rotation Indicator (FRI) point. The International Journal of Robotics Research, 18(6) (1999) 523-533.
- [21] D. Liang, L. Jian, Q. Ronghai, Super-Twisting Algorithm Based Sliding-Mode Observer with Online Parameter Estimation for Sensor less Control of Permanent Magnet Synchronous Machine, IEEE, 53(4) (2016) 3672 – 3682.
- [22] Y. Shtessel, M. Taleb, F. Plestan, a novel adaptive-gain super twisting sliding mode controller: Methodology and application, Automatica, 48(5) (2012).
- [23] H. Hemami, C.L. Golliday, The inverted pendulum and biped stability, Mathematical Biosciences, (2) (1977) 95-110.
- [24] D. Messuri, C. Klein, Automatic body regulation for maintaining stability of a legged vehicle during rough-terrain locomotion. Robotics and Automation, IEEE, 1(3) (1985) 141-132.
- [25] S.A.A. Moosavian, K. Alipour, Y. Bahramzadeh, Dynamics modeling and tip-over stability of suspended wheeled mobile robots with multiple arms. In Intelligent robots and Systems, 2007. IROS 2007. IEEE/RSJ International Conference, USA, 2007.
- [26] A. Takhmar, MHS measure for postural stability monitoring and control of biped robots. In Advanced Intelligent Mechatronics, 2008. AIM 2008. IEEE/ASME International Conference on, China, 2008.
- [27] S.A.A. Moosavian, A. Takhmar, Stable Gait Planning for Humanoids Motion, in ISME, Iran, 2007.
- [28] M. Mokhtari, M. Taghizadeh, M. Mazare, Optimal Robust Hybrid Active Force Control of a Lower Limb